

# 冷空气影响台风倒槽降水的个例分析

包澄澜 陆胜元

(南京大学气象系) (空军气象学校)

## 提 要

1974年8月中旬，在7412号台风倒槽与北方冷空气共同作用下，高层200mb出现强烈的闭合反气旋，南北两个高层辐散中心首先合并增强，接着低层辐合中心合并增强，在苏皖鲁地区造成罕见的特大暴雨。

使用高低相对散度研究这次降水过程

$$R = \frac{p_0 D_1}{g} (D_1 - D_2)$$

发现，相对散度分布可以指示台风中心的移动和降水的分布。计算雨量与实测雨量的分布和强度，都是极其相似的。

台风降水按其性质不同可分为两类：第一类是台风本身造成的降水<sup>[1]</sup>，包括台风外围对流性阵雨(即台风前飑线)，台风螺旋状雨带降水(即台风外雨带)，以及环状眼壁区降水(即台风内雨带)。第二类是台风与其它系统共同造成的降水，包括台风前部与冷空气共同作用产生的降水，台风后部与低层西南风急流相联系的大暴雨，以及地形影响加剧的地

形雨。台风倒槽降水属于第二类中台风与冷空气共同作用产生的降水。

台风倒槽降水对华东地区北部( $30^{\circ}\text{N}$ 以北)影响很大<sup>[2]</sup>。当台风中心位置还在较远的南方，如浙南、福建或广东时，台风倒槽已经可以使距离较远的华东地区北部开始降水，如果同时有冷空气影响，还可以引起较大的集中暴雨。上海中心气象台统计1956—70年共15年中，夏秋季节造成的上海地区大暴雨共18次，其中由台风倒槽引起的就有11次，占61%。而且最大的两次台风暴雨都属于这一类。据分析，当台风中心进入 $20^{\circ}\text{--}27^{\circ}\text{N}$ ,  $113^{\circ}\text{--}125^{\circ}\text{E}$ 范围内，台风带来的暖湿空气就可能到达上海地区附近。而700mb上如有低槽出现在 $116^{\circ}\text{--}126^{\circ}\text{E}$ ,  $35^{\circ}\text{N}$ 以南，冷空气可到达江淮流域。冷暖空气就可能在上海地区附近交汇而产生大暴雨。

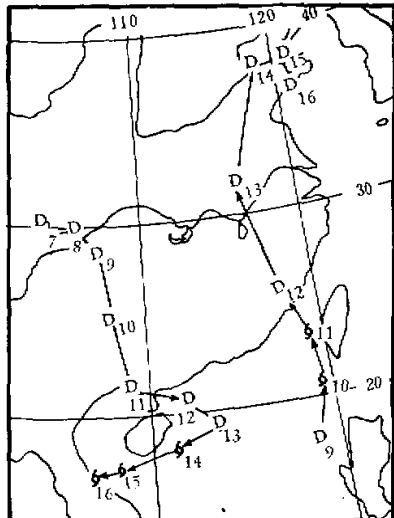


图1 7412号台风路径  
(附8月14日台风路径)

1974年8月中旬,7412号台风倒槽与冷空气共同作用,在江淮流域造成了特大暴雨。图1为7412号台风路径图。8月9日,7412号台风在南海东北部生成。10—12日,台风与一个西南涡发生相互旋转作用,台风北上,于11日20时在闽南登陆(西南涡则南下到南海北部海面,并于8月14日变性发展成台风)。7412号台风于12日08时就已迅速减弱成热带低压,13日到达安徽,由于冷空气已进入台风内部,而逐渐变性为温带气旋,14—16日到达山东半岛后停滞少动。

图2—3为这次台风倒槽暴雨过程的天气形势和卫星云图。8月10日08时,7412号台风位于台湾省西南方海上,北方有冷空气南下,冷锋自东北经华北直达贵州省,以后由于台风环流北上阻挡,冷锋移速将减慢。低层700 mb上,台风与北方低槽间为一相对高压区,黔桂有一西南涡正在南下。卫星云图上冷锋与台风云系间有一大片宽约 $6^{\circ}$ — $8^{\circ}$ 纬距的无云区,而冷锋云系F则与西南涡云系D相连接。8月12日,冷锋进入减弱了的台

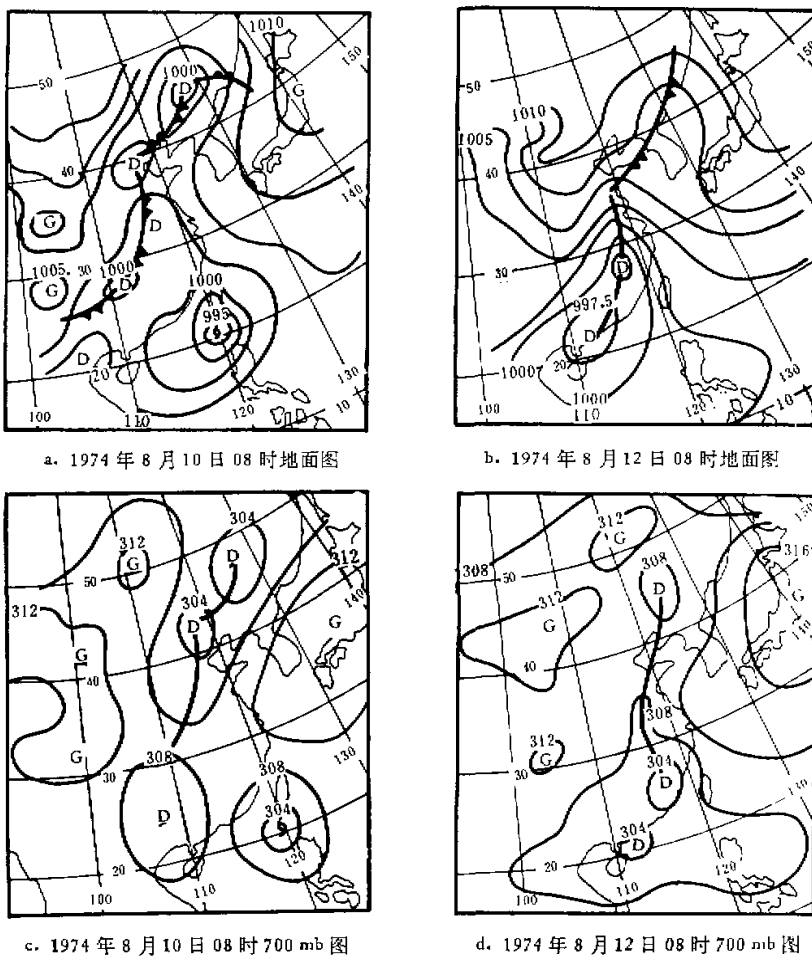


图2 7412号台风过程的天气形势

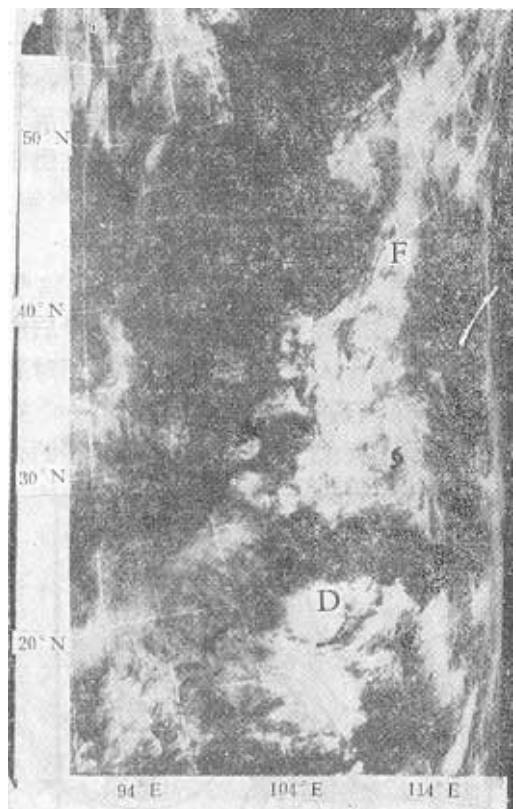


图 3 7412 号台风 8 月 12 日卫星云团

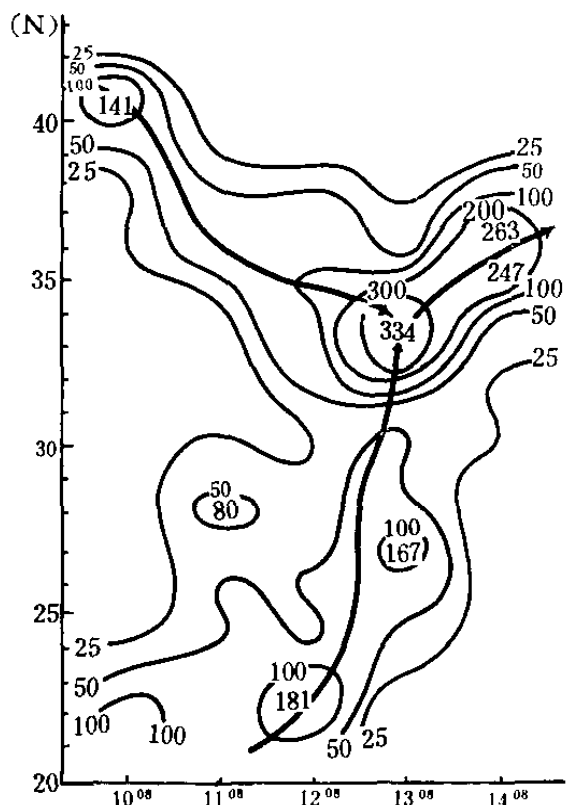


图 5 116°—121°E 间最大雨量的经向分布

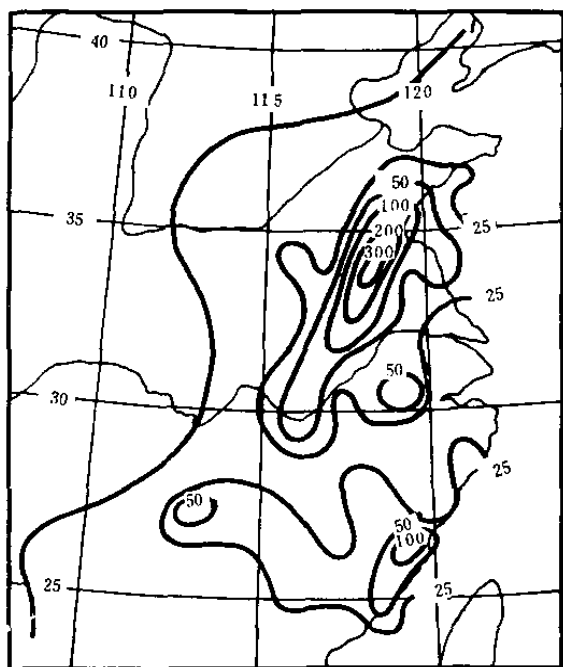


图 4 1974 年 8 月 13 日 08 时的 24 小时雨量图  
(单位: 毫米)

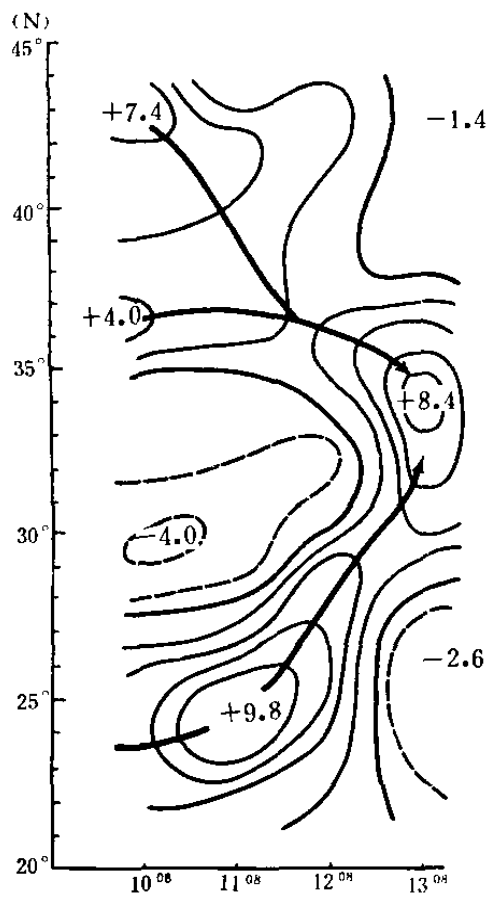


图 6 117.5°—120°E 间的 700 mb 涡度分布

风之中，地面倒槽指向山东省。700 mb 上台风倒槽与北方低槽也已联成一线。卫星云图上，台风云系大为减弱，而与冷锋云系开始结合成为一个系统，西南涡云系则已移到它的西南方，强度增强（两天以后就在海上发展成台风）。8月13日，台风倒槽与冷空气结合，逐渐变性成温带气旋。在卫星云图上，则已形成一个范围为 $23^{\circ}\text{--}40^{\circ}\text{N}$ ,  $108^{\circ}\text{--}122^{\circ}\text{E}$  的大面积云团。

在冷空气共同作用下，这次台风倒槽造成了大范围降水，8月12日起雨量突然增大，江淮流域12—13日的24小时降雨量在100 mm以上（图4），合肥183 mm，新沂199 mm，泗洪316 mm，宿迁334 mm，形成罕见的特大暴雨。次日，特大暴雨移到山东省沂蒙地区，14日08时的24小时降雨量，临沂167 mm，临沐168 mm，郯城162 mm，沂南160 mm，莒南和沂水247 mm，莒县263 mm，潍坊222 mm。暴雨使沂蒙山区山洪爆发，影响极大。

从 $116^{\circ}\text{--}121^{\circ}\text{E}$ 之间最大雨量的经向分布及其变化（图5），可以明显看出这次台风倒槽降水的演变特征。8月11日以前，台风还在海上，台湾省和华南陆地暴雨的强度和范围都较小。北方 $40^{\circ}\text{N}$ 处另一冷锋降水中心逐渐南移，强度减小。12日以后，随着台风倒槽的往北伸展和冷空气的南下，南方台风暴雨中心急速北上，与北方南下的冷锋暴雨中心合并，并大大增强。13日08时，在 $33^{\circ}\text{--}34^{\circ}\text{N}$ 处出现300 mm以上的特大暴雨中心。次日，这一暴雨中心北上到 $35^{\circ}\text{--}37^{\circ}\text{N}$ ，略有减弱，最大中心雨量仍在200 mm以上。这种合并现象在700 mb 涡度场的变化上（图6）也有所反映。11日台风的最大正涡度中心在 $24^{\circ}\text{--}25^{\circ}\text{N}$ 的华南沿海，逐渐北上，并略有减弱。北方 $40^{\circ}\text{N}$ 以北低槽区的正涡度中心也在南下并迅速减弱。这两者之间的江淮流域为大片负涡度区所控制。到8月13日，两个正涡度中心在江淮流域合并，强度再次大大增强。这正与江淮流域的特大暴雨相对应。

再沿 $117.5^{\circ}\text{E}$ 取散度值的经向剖面（图7）。可以看到，11日以前，在低层南北各有一个闭合的辐合中心（中间为一辐散中心所隔开），对应于台风和北方低槽冷空气，其上空则各有一相应的高层辐散中心。到12日（图略），低层两个辐合中心已相互接近，但仍为一辐散区所隔开。更值得注意的是，高层两个辐

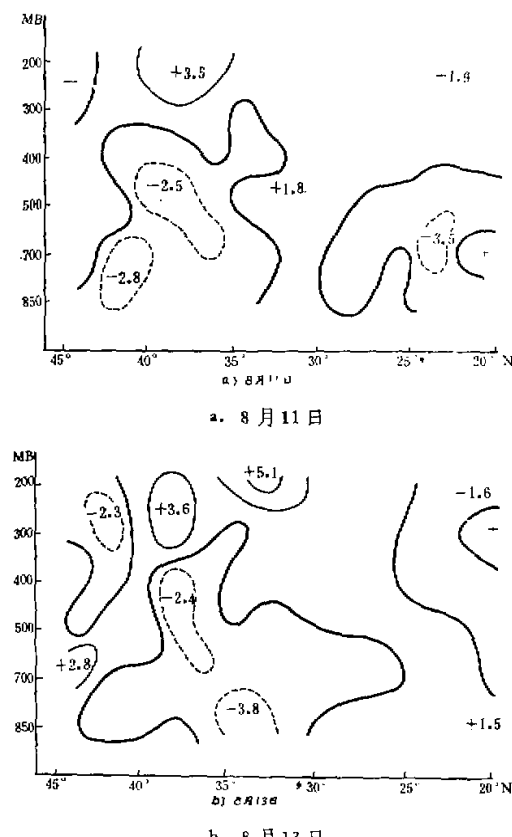


图7 沿 $117.5^{\circ}\text{--}120^{\circ}\text{E}$ 的散度值铅直剖面

散中心已经先行合并并增强，形成一个大范围强烈的高层辐散区。次日(13)日，低层两个辐合中心紧接着就合并增强。从而在8月13日08时，35°N附近出现了低层强烈辐合迭加着高层强烈辐散的现象。这与12—13日江淮流域特大暴雨的形成是直接有关的。

这种高层首先出现强烈辐散的现象，在200 mb图上显示得非常清楚(图8)。8月10日(图略)，长江以南还是一个低压区，高压远在南海上空。11日起，从南海东北部直到长江中下游，有一个南北向的闭合高层反气旋生成并北上，强度不断增强，闭合等高线从1248(11日)，1252(12日)，一直增强到1256位势什米(13日)。它与低层合并加强的低压相配合，就造成了江淮流域的特大暴雨。因此，就我们分析的7412号台风倒槽暴雨来说，首先出现高层反气旋流出的加强，然后低层气旋强度和低层辐合增强，导致了特大暴雨的产生，这说明了高层流场的重要性。

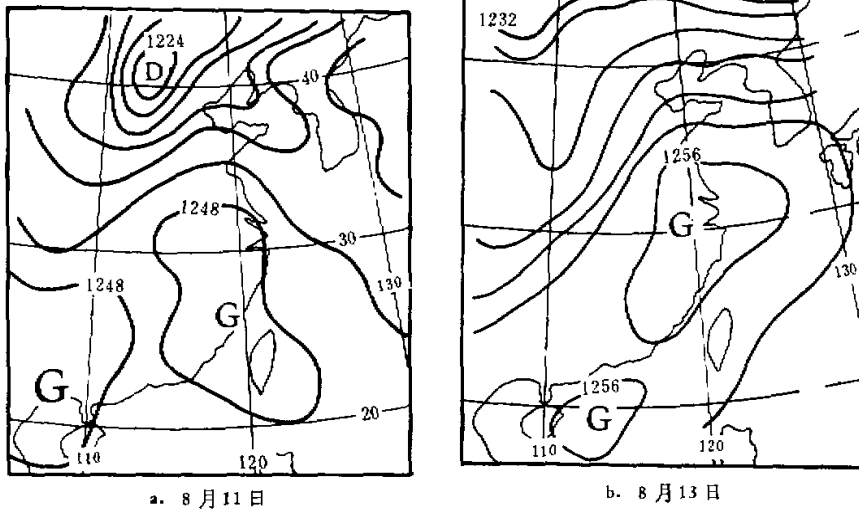


图8 7412号台风过程的200 mb形势

以下进一步分析形成降水量的因素<sup>[3]</sup>。假定进入单位面积气柱中的水汽量，一部分使该气柱中的水汽含量增加，另一部分凝结成云和降水。取水汽连续方程为

$$-R = \frac{\partial}{\partial t} \int_0^{\infty} \rho \sigma dz + \frac{\partial}{\partial x} \int_0^{\infty} \rho \sigma u dz + \frac{\partial}{\partial y} \int_0^{\infty} \rho \sigma v dz + \int_0^{\infty} \frac{\partial}{\partial z} (\rho \sigma w) dz \quad (1)$$

其中， $\rho$ 为空气密度， $\sigma$ 为混合比， $R$ 为单位面积单位时间的降雨量。(1)可改写为

$$-R = \frac{1}{g} \left[ \frac{\partial}{\partial t} \int_0^{p_0} \sigma dp + \frac{\partial}{\partial x} \int_0^{p_0} \sigma u dp + \frac{\partial}{\partial y} \int_0^{p_0} \sigma v dp \right] \quad (2)$$

其中，铅直输送项  $\int_0^{\infty} \frac{\partial}{\partial z} (\rho \sigma w) dz = \rho \sigma w_0$ ，只有在山区  $w_0 \neq 0$ ，故在计算平原地区雨量时可略去。

取 $\sigma$ ， $\sigma u$ ， $\sigma v$ 对整层气柱( $p=0 \rightarrow p_0$ )的平均值 $\bar{\sigma}$ ， $\bar{\sigma u}$ ， $\bar{\sigma v}$ ，则(2)式可写为

$$\begin{aligned} -R &= \frac{1}{g} \left( \frac{\partial p_0 \bar{\sigma}}{\partial t} + \frac{\partial p_0 \bar{\sigma u}}{\partial x} + \frac{\partial p_0 \bar{\sigma v}}{\partial y} \right) \\ R &= -\frac{1}{g} \left[ p_0 \left( \frac{\partial \bar{\sigma}}{\partial t} + \frac{\partial \bar{\sigma u}}{\partial x} + \frac{\partial \bar{\sigma v}}{\partial y} \right) + \left( \bar{\sigma} \frac{\partial p_0}{\partial t} + \bar{\sigma u} \frac{\partial p_0}{\partial x} + \bar{\sigma v} \frac{\partial p_0}{\partial y} \right) \right] \end{aligned} \quad (3)$$

由于对整层平均值  $\bar{\sigma}$ ,  $\bar{\sigma}u$ ,  $\bar{\sigma}v$  的计算较繁琐, 常取相当于这一平均值的某一高度上的值  $\sigma_1$ ,  $\sigma_1u_1$ ,  $\sigma_1v_1$ . 这一相当高度出现频数最多的一般为 850—700 mb 位面. 故得:

$$R = -\frac{1}{g} \left\{ p_0 \left( \frac{\partial \sigma_1}{\partial t} + \frac{\partial \sigma_1 u_1}{\partial x} + \frac{\partial \sigma_1 v_1}{\partial y} \right) + \sigma_1 \frac{\partial p_0}{\partial t} + \sigma_1 u_1 \frac{\partial p_0}{\partial x} + \sigma_1 v_1 \frac{\partial p_0}{\partial y} \right\} \quad (4)$$

另外, 密度连续方程为

$$\frac{\partial \rho}{\partial t} + \frac{\partial \rho u}{\partial x} + \frac{\partial \rho v}{\partial y} + \frac{\partial \rho w}{\partial z} = 0 \quad (5)$$

积分之, 得

$$\frac{\partial}{\partial t} \int_0^\infty \rho dz + \frac{\partial}{\partial x} \int_0^\infty \rho u dz + \frac{\partial}{\partial y} \int_0^\infty \rho v dz + \frac{\partial}{\partial z} \int_0^\infty \rho w dz = 0 \quad (6)$$

同样可得出

$$\frac{\partial p_0}{\partial t} + \frac{\partial \bar{u} p_0}{\partial x} + \frac{\partial \bar{v} p_0}{\partial y} = 0 \quad (7)$$

其中,  $\bar{u}$ ,  $\bar{v}$  为  $u$ ,  $v$  对整层的平均值, 也可用某一高度的值  $u_1$ ,  $v_1$  代替, 通常以 500 mb 上的值最适当. 以 (7) 式代入 (4) 式

$$\begin{aligned} R = & -\frac{1}{g} \left[ p_0 \left( \frac{\partial \sigma_1}{\partial t} + u_1 \frac{\partial \sigma_1}{\partial x} + v_1 \frac{\partial \sigma_1}{\partial y} \right) + p_0 \sigma_1 (D_1 - D_2) \right] \\ & -\frac{1}{g} \left[ \sigma_1 (u_1 - \bar{u}) \frac{\partial p_0}{\partial x} + \sigma_1 (v_1 - \bar{v}) \frac{\partial p_0}{\partial y} \right] \end{aligned} \quad (8)$$

其中, 散度值  $D_1 = \frac{\partial u_1}{\partial x} + \frac{\partial v_1}{\partial y}$ ,  $D_2 = \frac{\partial \bar{u}}{\partial x} + \frac{\partial \bar{v}}{\partial y}$ . 计算各项量级后发现, (8) 式右方第二项一般要比第一项小 1—2 个量级, 可略去不计. 最后得

$$R = -\frac{p_0}{g} \frac{d\sigma_1}{dt} + \frac{p_0 \sigma_1}{g} (D_2 - D_1) \quad (9)$$

因此, 降雨量的大小是与低层某一相当位面(例如 700 mb)混合比的个别变化项, 以及高低层的散度差(相对散度)呈一定的正比例关系. 据这次台风倒槽降水计算表明, 这两项的量级相差也很大,

$$\begin{cases} -\frac{p_0}{g} \frac{d\sigma_1}{dt} \approx (1-2) \times 10^{-4} \text{mm/sec} \\ \frac{p_0 \sigma_1}{g} (D_2 - D_1) \approx (10-100) \times 10^{-4} \text{mm/sec} \end{cases} \quad (10)$$

因此, 我们只着重分析相对散度与降水量的关系.

要计算相对散度, 首先必须确定高低两层相当高度位面. 在西风带中, 相当于整层平均值  $\bar{\sigma}$ ,  $\bar{\sigma}u$ ,  $\bar{\sigma}v$  的位面一般较低, 常为 850—700 mb, 取作为一层. 而相当于整层平均值  $\bar{u}$ ,  $\bar{v}$  的位面一般较高, 常为 500 mb, 取作第二层. 日本有些人<sup>[4]</sup>就采用这两个位面计算相对散度. 计算时从简化涡度方程将 (9) 式中的相对散度换算成

$$D_2 - D_1 = \frac{1}{f} \left[ \frac{\partial}{\partial t} \delta \zeta + V_{700} \nabla \delta \zeta + \delta V \nabla \zeta_{700} \right] \quad (11)$$

其中, 符号 “ $\zeta$ ” 代表 500 mb 减去 850 mb 上的  $V$ ,  $\zeta$  值之差, 下标 “700” 代表 700 mb 上的  $V$ ,  $\zeta$  值. 在分析计算梅雨期的暴雨过程时, 计算雨量与实测雨量分布很相似.

我们在分析计算 7412 号台风倒槽暴雨过程时, 考虑到热带天气分析与中高纬分析的

不同点，计算相对散度时取不同的高低两层位面作试验。低层第一层取 850, 和 700 mb, 高层第二层取 500, 300, 200 mb. 结果发现以 200 和 300 mb 减去 850 mb 值作为相对散度，效果较好。这与热带天气分析中经常取 850 mb 代表低层流场，200 mb 代表高层流场是完全一致的。而高层取 500 mb 的效果稍差，这是与中高纬度天气很不一致之处。

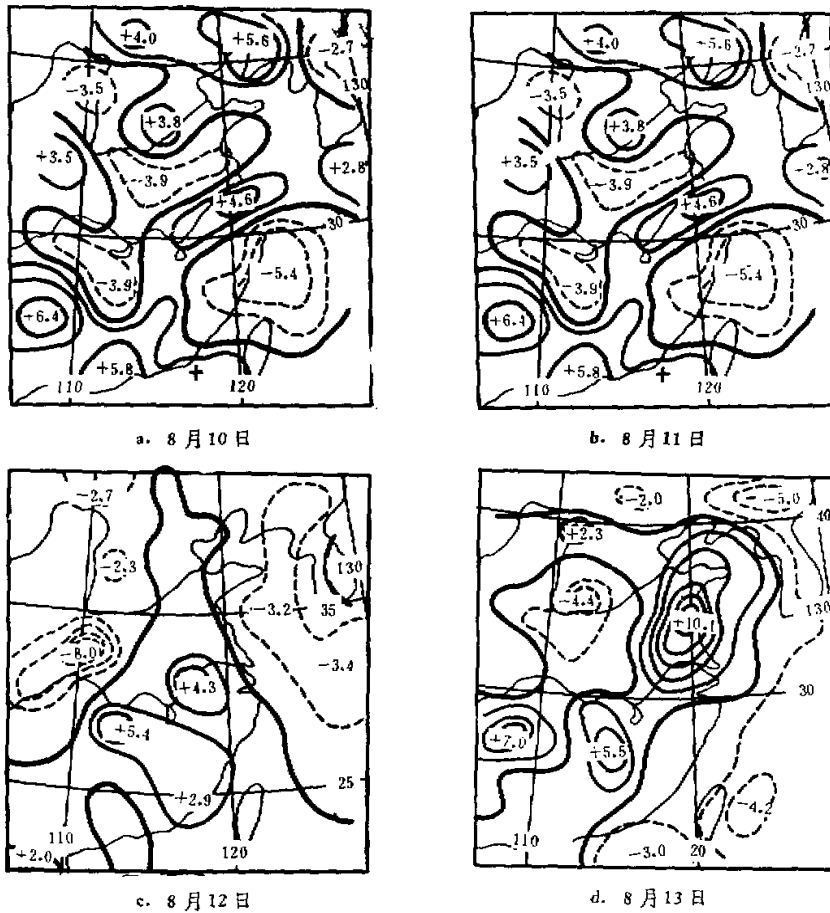


图 9 200 mb 减 850 mb 相对湿度分布

图 9 为这次台风倒槽暴雨过程的 200 mb 减 850 mb 相对湿度  $\Delta D_{200-850}$  分布。在 8 月 10 日 08 时，台风远在海上，相对湿度正中心在南海。从东北—华北又有一片正中心，与北方西风倒槽和降水区相对应。25°—35°N 之间以负中心为主。11 日 08 时，台风即将登陆， $\Delta D$  正中心在广东东部，正位于台风路径前方，对台风未来路径有一定的指示意义。北方正中心南下到山东省。这两者之间的负中心区已大大缩小并减弱。到 8 月 12 日 08 时，115°E 以东的我国东半部，已形成一个南北向的大范围相对湿度正值区，中心在长江中下游。这时台风中心登陆不久，还在福建南部。以后台风中心即沿此  $\Delta D$  最大值的轴线北上。正值中心区大致指示了未来特大暴雨出现的地区。到 8 月 13 日 08 时，相对散

度中心大大加强，并北上达苏皖鲁地区，这里正是出现和即将出现特大暴雨的地区。

图 10 为相对散度的计算雨量分布。 $\sigma_1$  取 700mb 混合比（单位： $10^{-3} \text{ gm/gm}$ ）， $\Delta D_{200-850}$  约  $(10-100) \times 10^{-5} \text{ 秒}^{-1}$ （计算尺度 400 公里，网格点距 200 公里）。求得的雨量强度约  $(10-100) \times 10^{-4} \text{ mm/sec}$ ，假定这种雨量强度持续 10 小时，作为日雨量（毫米/日），即得计算雨量。图 10 a 为 8 月 13 日 08 时的计算雨量，图中虚线为 700mb  $T - T_d = 3^\circ\text{C}$  线，代表饱和区（云雨区）。图 10 b 为 12 日 08 时和 13 日 08 时计算雨量的平均值。以此与实测雨量（图 1）相比较，可以看到，计算雨量与实测雨量的分布，以及雨量中心数值的大小量级，都是极其相似的。考虑到饱和区的范围，效果可能更好。

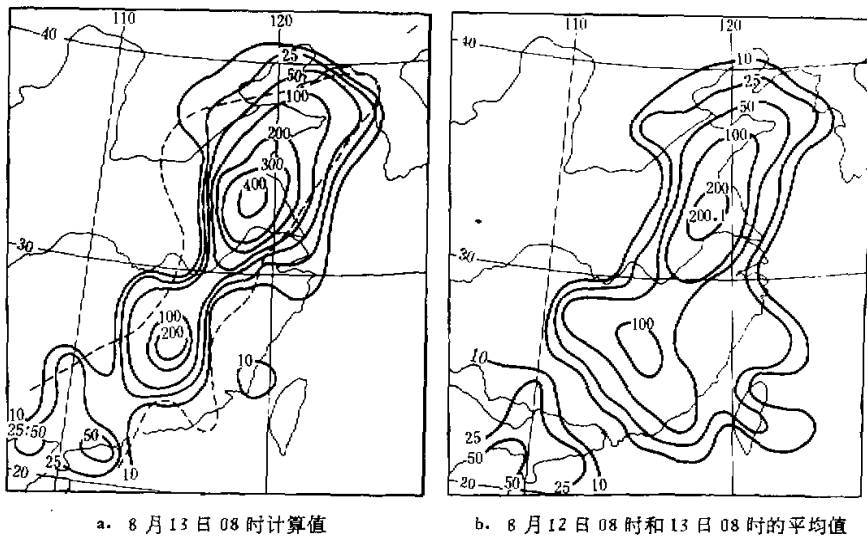


图 10 计算雨量分布

因此，可以得出结论，对于热带天气系统来说，以 200—300 mb 代表高层流场，以 850 mb 代表低层流场进行分析是适宜的，而且还有一定的预报价值。整层对流层的相对散度分布，高层流场的演变，不仅对于台风登陆后的移动方向，强度变化，而且对于台风倒槽与冷空气共同影响引起的特大暴雨的位置和强度，都有一定的指示意义。当然，这些结论还有待于更多个例分析的验证和理论上的进一步探讨。

#### 参 考 资 料

- [1] 福建省气象局 652 站，雷达在台风短期预报中的初步应用，台风会议文集，1972，P. 81—87。
- [2] 上海中心气象台，上海地区夏、秋季节台风倒槽暴雨预报条件，台风会议文集，1972，p. 114—119。
- [3] 朝仓正，雨量预报（台风ともなう雨第二报）气象杂志，1953，p. 306—312。
- [4] 川本敏夫，相对发散分布と降雨分布について——降水量の予想——，研究时报，1957，p. 349—355。